

ИЗМЕРЕНИЕ И РАСЧЕТ ИДЕАЛЬНОЙ СКОРОСТИ ДЕТОНАЦИИ ЖИДКИХ НИТРОСОЕДИНЕНИЙ

Г. Д. Козак

Российский химико-технологический университет им. Д. И. Менделеева, 125047 Москва

Приведены результаты экспериментальных измерений зависимости скорости детонации от диаметра заряда для гомогенных нитрометана и пропиленгликольдINITRата; идеальной скорости детонации для аллилнитрата, диэтиленгликольдINITRата, метиленгликольдINITRата и этилнитрата. Собраны литературные данные по измерению зависимости скорости детонации от диаметра заряда для жидкого тротила, нитроглицерина, нитрогликоля и метилнитрата. Показано, что измеренные значения идеальной скорости детонации с хорошей точностью соответствуют расчетным, полученным по методу SD, использующему уравнение состояния вещества при высоком давлении (см. статью Б. Н. Кондрикова, А. И. Сумина в журнале «Физика горения и взрыва» в № 1 за 1987 г.). Получена корреляция между отношением критической скорости детонации к идеальной и теплотой взрыва, что позволяет оценить предельное значение последней, при котором гомогенные жидкие нитросоединения теряют способность к детонации.

Зависимость скорости детонации D взрывчатых веществ (ВВ) от диаметра заряда d является одной из основных в теории детонации. С ее помощью получают значение идеальной скорости детонации D_i , а если определен критический диаметр детонации d_f , то и значение критической скорости детонации D_f . Применительно к жидким пористым системам обобщенная зависимость $D(d)$ приведена в работе [1]. Применительно к твердым, высокоплотным, литым и прессованным, в основном гетерогенным ВВ вид зависимости $D(d)$ рассмотрен в работе [2].

Для гомогенных жидких ВВ характерна линейная связь

$$D = D_i - A/d. \quad (1)$$

В настоящей работе приведены результаты измерений зависимости $D(d)$ для гомогенных нитрометана (НМ) и пропиленгликольдINITRата (ПГДН) и измерений идеальной скорости детонации для аллилнитрата (АН), диэтиленгликольдINITRата (ДГДН), метиленгликольдINITRата (МГДН) и этилнитрата (ЭН), а также собраны литературные данные по измерению зависимости скорости детонации от диаметра заряда для жидкого тротила (ТНТ), нитроглицерина (НГЦ), нитрогликоля (НГЛ) и метилнитрата (МН). Экспериментальные значения D , сопоставляются с расчетными (D_i^c), полученными методом [3].

ЭКСПЕРИМЕНТАЛЬНЫЕ ДАННЫЕ

Зависимости $D(d)$ для всех ВВ получены в опытах с цилиндрическими стеклянными трубками. Для измерения значения скорости детонации при $1/d \rightarrow 0$ опыты проводили в стальных трубах диаметром 10 мм с толщиной стенки 13 мм. Скорость детонации, где это не оговорено особо, определяли оптическим методом при осевой съемке с помощью приборов СФР-2 или ЖФР-3, регистрируя свечение детонации (в случае стальных труб — через радиальные отверстия диаметром $1,5 \div 2$ мм, просверленные в стенке трубы с шагом $15 \div 20$ мм и заклеенные липкой лентой). Инициатором детонации служили прессованные шашки из флегматизированного гексогена диаметром 12 мм, массой 2 г, плотностью $1,67 \div 1,68 \text{ г}/\text{см}^3$.

Нитрометан. Цитируемые в [2] данные для НМ получены в опытах с бронзовыми трубками с толщиной стенки 3,18 мм. Численные значения скорости детонации в [2] не приведены, а даны в виде графика зависимости скорости детонации от радиуса заряда. Критический диаметр детонации НМ в этих условиях составлял 2,8 мм.

По данным [4] критический диаметр детонации очищенного НМ в стеклянной оболочке равен 13,5 мм. Скорость детонации НМ, предварительно очищенного так же, как в работе [4], в настоящей работе измеряли в стеклянных трубках с помощью ионизационных датчиков с применением электронно-счетного частот-

томера (точность измерения времени 0,01 мкс). Датчики представляли собой свитые вместе три проволочки марки ПЭВ толщиной 0,5 \div 0,3 мм, одна из которых короче двух других. Их вводили сквозь пробку, покрытую парафином, закрывавшую снизу канал трубки. База измерения (расстояние между концами двух длинных и короткой проволочек) составляла ≈ 100 мм. Сверху трубка имела плавное расширение ($d = 14 \div 15$ мм) для ввода промежуточного детонатора, который был защищен полиэтиленовой пленкой. Для снижения критического диаметра детонации в стеклянные оболочки вводили трубки, свернутые из тонкой (0,08 мм) медной фольги, диаметр которых несколько меньше диаметра стеклянных трубок. Как показано в работе [5], фольга препятствует зарождению и распространению волн отсутствия реакции в НМ, что приводит к снижению критического диаметра детонации. Последний в этих условиях был равен 6,3 мм. Уменьшение критического диаметра детонации за счет введения фольги позволило расширить диапазон измерения зависимости $D(d)$ в условиях слабой оболочки.

Пропиленгликольдинитрат, диэтиленгликольдинитрат, этилнитрат. ПГДН, ДГДН и ЭН получали этерификацией соответственно 1,3-пропиленгликоля, диэтиленгликоля и этанола безводной серноазотной кислотной смесью ($H_2SO_4 : HNO_3 = 1 : 1$) при температуре $5 \div 8$ °С. Способ получения и очистки — обычный для нитроэфиров и описан в [6]. Метод регистрации скорости детонации — оптический. Согласно [7] в стеклянных трубках $d_f^{ПГДН} = 5,1$ мм, $d_f^{ДГДН} = 16$ мм, $a_f^{ОН}$ определен не был.

Аллилнитрат. Получить непредельный нитроэфир (аллилнитрат) обычным способом — нитрацией аллилового спирта серноазотной кислотной смесью — не удалось, поэтому получали его этерификацией аллилового спирта смесью азотной кислоты (концентрация 98 \div 100 %) и уксусного ангидрида, взятых в соотношении 1 : 1,5 при температуре $-10 \div 0$ °С. Аллиловый спирт прибавляли к охлажденной кислотной смеси со скоростью $2,5 \div 3$ г/мин. После окончания слива и выдержки в течение $10 \div 15$ мин реакционную массу разбавляли равным ей объемом воды со льдом. Промывку и фильтрацию АН проводили так же, как при получении других нитроэфиров [6]. Чтобы определить состав и плотность, АН подвергали перегонке под вакуумом ($T_k = 37 \div 42$ °С при

давлении 144 мм рт. ст.). Перегнанный продукт представлял собой бесцветную жидкость со слабым запахом аллилового спирта. Плотность, определенная пикнометрически, составляла $\rho^{20} = 1,112$ г/см³. По результатам анализа в синтезированном продукте содержится $35,02 \pm 0,36$ % углерода, $5,27 \pm 0,36$ % водорода, 13,15 % азота (теоретические значения соответственно 34,96, 4,85 и 13,6 %). Принадлежность полученного соединения к классу нитроэфиров с двойной связью подтверждена инфракрасной спектроскопией.

В стеклянных трубках $a_f^{АН} = 3,0$ мм [7], скорость детонации АН определяли в стальных трубах.

Метиленгликольдинитрат. Данные по детонации МГДН в литературе отсутствуют. МГДН получали нитрацией параформа азотной кислотой (концентрация ≈ 100 %). На 1 г параформа расходовали 6 мл кислоты. К охлажденной до $T = -(50 \div 40)$ °С азотной кислоте добавляли параформ и затем за счет саморазогрева смеси температуру повышали в течение 15 мин до -5 °С. При этой температуре реакционную массу выдерживали 20 мин и выливали в десятикратный объем воды со льдом. Отделенный от отработанной кислоты МГДН дважды промывали холодной водой до нейтральной реакции на лакмус. Полученный МГДН не хранили и эксперименты с ним проводили в день изготовления. Плотность МГДН, определенная пикнометрически, составляла 1,55 г/см³.

В стеклянных трубках $a_f^{МГДН} = 3$ мм (детонация получена в трубке диаметром 3,1 мм, а затухание детонации — в трубке диаметром 2,9 мм). Попытка измерить скорость горения при атмосферном давлении в тонкостенном стеклянном капилляре диаметром 2 мм при поджигании раскаленной спиралью завершилась взрывом с полным разрушением капилляра. Взрывы происходили и при сжигании бумажных фильтров, через которые фильтровали МГДН после получения. В одном из опытов в результате быстрого разложения и выброса реакционной массы круглодонная колба, в которой осуществляли реакцию, была разрушена на крупные осколки. Скорость детонации МГДН определяли в стальных трубах.

Тротил. Данные по измерению скорости детонации жидкого (при $t = 100$ °С) ТНТ взяты из [8]. Толщина стеклянной (Ругех) оболочки 2,54 мм. Всего с расплавленным ТНТ проведено девять опытов при $d = 65$ мм, десять —

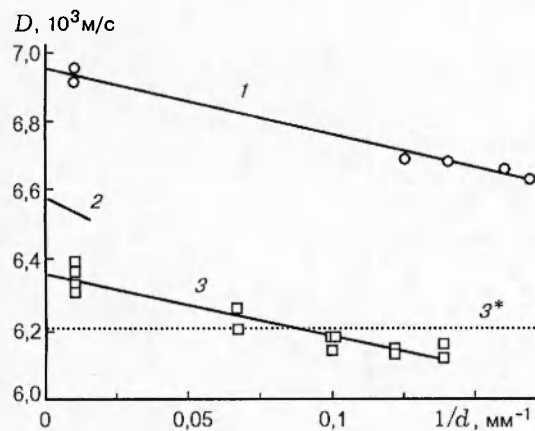


Рис. 1. Зависимости скорости детонации от диаметра заряда для пропиленгликольдинитрата (1), жидкого тротила [8] (2) и для нитрометана в стеклянной оболочке с фольгой (3) и в бронзовых трубках [2] (3*):

точки — данные работы [2, 8], линии — результаты обработки методом наименьших квадратов

при $d = 70$ мм, девять — при $d = 95$ мм и три — при $d = 151,2$ мм. Средняя погрешность по всем измерениям в пределах 0,1 %. При $d = 60$ мм получали отказы детонации. По этим данным значение критического диаметра детонации жидкого ТНТ близко к приведенному в работе [9]: $d_f^{\text{THT}} = 60$ мм. Скорость детонации измеряли методом ионизационных датчиков с регистрацией на осциллографе.

Нитроглицерин, нитрогликоль и метилнитрат. Измерения скорости и критического диаметра детонации НГЦ, НГЛ и МН выполнены в работах [10–16]. Зависимости $D(1/d)$ для ПГДН и НМ приведены на рис. 1, а для НГЛ, МН и НГЦ по данным [10–16] — на рис. 2.

Как видно из рис. 1, зависимости $D(1/d)$ в опытах с НМ в бронзовой и стеклянной оболочках значительно отличаются. Различие проявляется также и в том, что идеальная скорость детонации, получаемая при обработке опытов в стеклянной оболочке ($D_i = 6336$ м/с), больше, чем в опытах в бронзовых трубках ($D_i = 6209$ м/с). Возможным объяснением этому является то, что НМ, применявшийся в работе [2], не подвергался очистке в отличие от наших опытов.

В масштабе рис. 1 зависимость $D(1/d)$ для ТНТ имеет очень малую протяженность, поэтому экспериментальные точки не показаны.

ОБСУЖДЕНИЕ РЕЗУЛЬТАТОВ

В таблице представлены значения D_i и A

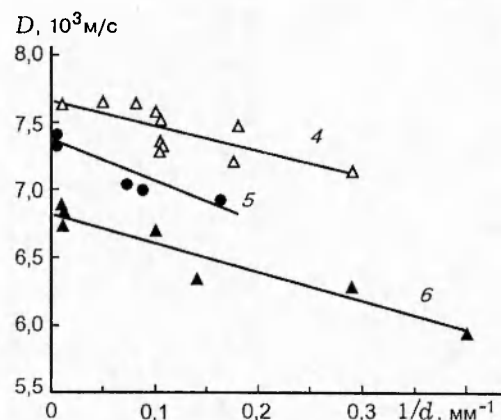


Рис. 2. Зависимости скорости детонации нитроглицерина (4), нитрогликоля (5) и метилнитрата (6) от диаметра заряда:

точки — данные работ [10–16], линии — результаты обработки методом наименьших квадратов

(см. уравнение (1)), полученные при обработке данных рис. 1 и 2 методом наименьших квадратов, а также критические диаметры детонации d_f изучавшихся веществ. При подстановке значения d_f в уравнение (1) для соответствующего вещества получается значение скорости детонации при критическом диаметре детонации (D_f). Непосредственно экспериментально величину D_f , как правило, получить трудно, поскольку при $d \approx d_f$ наблюдается значительный разброс значений скорости детонации. Такое явление наблюдалось, в частности, и для литых зарядов из сплава ТНТ — гексоген и из пентолита [17].

С помощью разработанного ранее в нашей лаборатории метода SD, использующего уравнение состояния вещества при высоком давлении [3], для изучавшихся веществ были рассчитаны параметры детонации; результаты расчета см. в таблице. Сравнение экспериментальных значений идеальной скорости детонации с расчетными показывает, что различие между ними невелико, относительное отклонение D_i от D_i^c для большинства изучавшихся веществ менее 1 %. Сопоставляя усредненные значения D_i , полученные при измерении скорости детонации в стальных трубах, с расчетными, можно заключить, что и для них различие также невелико: для ДГДН — 0,53, для ЭН — 0,66, для АН — 1,08, для МГДН — около 3 %.

В работе [18] для веществ, для которых зависимости $D(1/d)$ приведены здесь на рис. 1 и

Результаты опытов и расчетов

| № п/п | ВВ | Экспериментальные данные | | | | | | Расчетные данные | | | $(D_i^c - D_i)/D_i, %$ | $t_3, \text{ мкс}$ [18] | $T_3, \text{ К}$ [18] | |
|----------|------|--------------------------|--------------------|--|------------------------|-------------------|--------------------|------------------|--------------------------|------------------|------------------------|----------------------------|--------------------------|------|
| | | Число опытов | $D_i, \text{ м/с}$ | $A, \text{ м} \cdot \text{с}^{-1} \cdot \text{мм}$ | $\rho, \text{ г/см}^3$ | $d_f, \text{ мм}$ | $D_f, \text{ м/с}$ | D_f/D_i | $Q_{СJ}, \text{ МДж/кг}$ | $T_D, \text{ К}$ | $D_i^c, \text{ м/с}$ | | | |
| 1 | ТНТ | | 6574 | 3828 | 1,46 | 60 | 6510 | 0,990 | 5,26 | 3647 | 6597 | 0,35 | 0,281 | 931 |
| 2 | НМ | 14 | 6352 | 1797 | 1,14 | 6,3* | 6067 | 0,955 | 5,29 | 3376 | 6307 | -0,71 | 0,297 | 1085 |
| 3 | ПГДН | 6 | 6958 | 1964 | 1,37 | 5,1 | 6573 | 0,945 | 5,55 | 3702 | 6978 | 0,29 | 0,096 | 919 |
| 4 | НГЦ | | 7649 | 1816 | 1,60 | 2,0 | 6741 | 0,881 | 6,18 | 4556 | 7641 | -0,10 | 0,045 | 975 |
| 5 | МН | | 6818 | 2112 | 1,22 | 2,4 | 5938 | 0,871 | 6,29 | 4290 | 6610 | -3,05 | 0,052 | 959 |
| 6 | НГЛ | | 7356 | 2991 | 1,49 | 1,9 | 5782 | 0,786 | 6,66 | 4771 | 7375 | 0,26 | 0,044 | 970 |
| 7 | АН | 3** | 5873 ± 128 | — | 1,11 | 3,0 | — | — | 5,39 | 3260 | 5810 | 1,07 | — | — |
| 8 | ЭН | 1** | 6010 | — | 1,11 | — | — | — | 5,17 | 3128 | 6050 | 0,66 | — | — |
| 9 | ДГДН | 7** | 6922 ± 60 | — | 1,39 | 16 | — | — | 5,47 | 3485 | 6959 | 0,53 | 0,324 | 859 |
| 10 | МГДН | 2** | 6205 ± 35 | — | 1,55 | 3,0 | — | — | 2,92 | 2629 | 6406 | 3,24 | — | — |

Примечания. $Q_{СJ}$ — теплота взрыва, T_D — расчетная температура детонации; * — опыты в стеклянной оболочке с фольгой, ** — опыты по измерению D_i в стальных трубах.

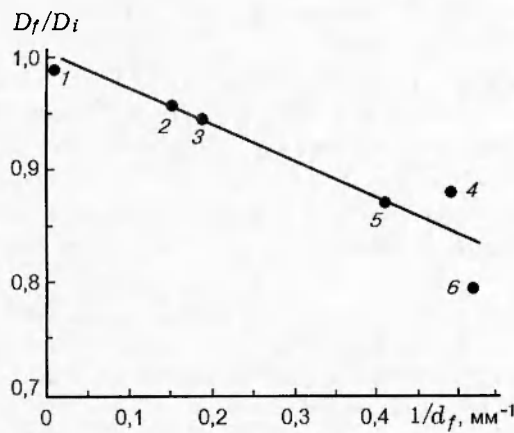


Рис. 3. Отношения критической скорости детонации к идеальной:

цифры около точек соответствуют номеру ВВ в таблице

2, по методу Дремина — Трофимова были рассчитаны время задержки адиабатического самовоспламенения t_3 и температура T_3 в периферийной зоне. Эти результаты также приведены в таблице (t_3 и d_f связаны соотношением $t_3 = 0,02d_f$). На рис. 3 дана зависимость отношения D_f/D_i от $(d_f)^{-1}$, построенная по уравнению

$$D_f/D_i = 1,004 - 0,318(d_f)^{-1} \quad (d_f \text{ в мм}). \quad (2)$$

При $1/d_f \rightarrow 0$ и $1/t_3 \rightarrow 0$ вещество теряет детонационную способность: $D_i \rightarrow D_f$.

Анализ, проведенный в работе [18], показал, что для веществ близкого химического строения (ДГДН, НГЛ, НГЦ) наблюдается (вопреки различию механизмов затухания детонации в критических условиях) совпадение кинетических параметров, полученных по данным измерения зависимости критического диаметра детонации от начальной температуры [19]: ДГДН имеет явно выраженные и обширные зоны отсутствия реакции на торцевых снимках [20], а НГЦ [21] и, вероятно, НГЛ и МН имеют одномерный детонационный фронт, срыв реакции на котором выражен менее ярко. Это замечание, по-видимому, дает основание включить в предлагаемое здесь обобщение наряду с нитроэфирами и с-нитросоединениями.

С учетом связи $D_i \sim (Q_{CJ})^{1/2}$ получается зависимость (рис. 4)

$$D_i/D_f = -0,478 + 3,347(Q_{CJ})^{-1/2}, \quad (3)$$

связывающая экспериментально определяемое отношение D_f/D_i с расчетной теплотой взрыва

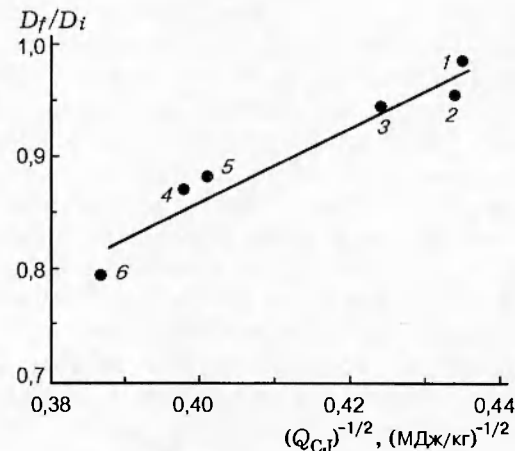


Рис. 4. Влияние теплоты взрыва на отношение D_f/D_i для жидких ВВ:

цифры около точек соответствуют номеру ВВ в таблице

ва. Заметим, что при ее построении применяли данные, полученные для веществ с кислородным балансом $\leq +3,5\%$. Важность соотношения (3) заключается в том, что с его помощью можно оценить критическое значение теплоты взрыва (Q_{CJ}^*), при котором теряется детонационная способность гомогенного ВВ, состоящего из углерода, водорода, кислорода и азота, кислородный баланс которого меньше $+3,5\%$. При подстановке в (3) $D_f/D_i = 1$ получим $Q_{CJ}^* = 5,128 \text{ МДж/кг}$. Сопоставление полученных результатов с экспериментальными показывает, что величина Q_{CJ}^* имеет вполне реальное значение. Расчетная теплота взрыва этилнитрата ($5,168 \text{ МДж/кг}$) не на много больше значения критической величины Q_{CJ}^* ; в стальной трубе детонационный процесс в таком ВВ распространялся устойчиво со скоростью, очень близкой к расчетной (см. таблицу). Напротив, расчетная теплота взрыва пропилнитрата ($Q_{CJ} = 5,028 \text{ МДж/кг}$) меньше значения Q_{CJ}^* ; устойчивого высокоскоростного детонационного процесса в зарядах пропилнитрата в стальных трубах получить не удалось [7]. Расчетная теплота взрыва жидкого динитротолуола ($Q_{CJ} = 4,532 \text{ МДж/кг}$) намного меньше значения Q_{CJ}^* . Как отмечалось в [22], детонацию расплавленного динитротолуола в стальных трубах не удалось возбудить при мощном инициировании даже при начальной температуре $160 \div 180^\circ\text{C}$.

Иключение в этом отношении представляет метиленгликольдинитрат ($Q_{CJ} =$

2,915 МДж/кг, $d_f = 3$ мм). Однако его не следовало бы включать в это рассмотрение даже по формальным причинам, ввиду большого положительного значения кислородного баланса (+34,8%). По существу, это соединение, относящееся к классу нитроэфиров, отличается крайне невысокой химической стойкостью и взрывоопасностью, в чем мы убедились при работе с ним. Вероятно, кинетические параметры реакции его распада существенно отличаются от большинства О-нитросоединений.

Приводя рассуждения, касающиеся Q_{CJ}^* , следует сказать, что при введении пузырьков газа характер зависимости $D(1/d)$ меняется, и сделанный вывод касается только гомогенных жидкых ВВ, не содержащих пузырьков газа.

В проведении экспериментов участвовали А. В. Старшинов и В. В. Кондратьев. Работа выполнена при поддержке Российского фонда фундаментальных исследований (код проекта 96-03-32858а). Автор благодарен проф. Б. Н. Кондрикову за замечания, высказанные при обсуждении статьи.

ЛИТЕРАТУРА

- Кондриков Б. Н., Козак Г. Д., Обломский В. Б., Савкин А. В. Детонационные превращения в аэрированной жидкости // Физика горения и взрыва. 1987. Т. 23, № 2. С. 83.
- Campbell A. W., Engelke R. The diameter effect in high-density heterogeneous explosives // Proc. Sixth Symp. (Intern.) on Detonation. USA, Calif., 1976. P. 642–652.
- Кондриков Б. Н., Сумин А. И. Уравнение состояния газов при высоком давлении // Физика горения и взрыва. 1987. Т. 23, № 1. С. 114–122.
- Кондриков Б. Н., Козак Г. Д., Райкова В. М. Старшинов А. В. О детонации нитрометана // Докл. АН СССР. 1977. Т. 233, № 3. С. 402–405.
- Campbell A. W., Malin M. E., Holland T. E. Detonation in homogeneous explosives // Proc. Second ONR Symp. on Detonation. Maryland, USA, 1955. P. 336–359.
- Орлова Е. Ю., Жилин В. Ф., Збарский В. Л., Шутов Г. М. Руководство к лабораторному практикуму по получению нитро соединений. М.: МХТИ им. Д. И. Менделеева, 1969.
- Козак Г. Д., Кондриков Б. Н., Старшинов А. В. Критический диаметр детонации нитроэфиров // Химическая физика конденсированных взрывчатых систем: Тр. МХТИ им. Д. И. Менделеева. Вып. 104. М.: МХТИ, 1979. С. 87–91.
- Igel E. A., Seely L. B. (Jr.). The detonation behavior of liquid TNT // Proc. Second ONR Symp. on Detonation. Maryland, USA, 1955. P. 321–335.
- Беляев А. Ф. Горение, детонация и работа взрыва конденсированных систем. М.: Наука, 1968.
- Беляев А. Ф., Карасев В. М., Азбукина Л. Н. Скорость детонации нитроглицерина // Физика взрыва № 5б. М.: Изд-во АН СССР, 1956. С. 97.
- Курбангаллина Р. Х. О детонации жидких взрывчатых веществ вблизи предельного диаметра: Дис. ... канд. техн. наук. М.: ИХФ АН СССР, 1947.
- Ратнер С. Б., Харiton Ю. Б. О скоростях детонации нитроглицерина и нитрогликоля // Докл. АН СССР. 1943. Т. 41, № 7. С. 307.
- Kusakabe M., Fujiware S. Explosive behavior of methylnitrate and its mixtures with liquid diluents // Proc. of the 5th Symp. on Detonation. USA, 1970. P. 203.
- Райкова В. М. Предельные условия горения и детонации нитроэфиров и смесей на их основе: Дис. ... канд. физ.-мат. наук. М.: МХТИ им. Д. И. Менделеева, 1977.
- Кондриков Б. Н., Райкова В. М. Пределы детонации взрывчатых растворов // Физика горения и взрыва. 1977. Т. 13, № 1. С. 55.
- Козак Г. Д., Кондриков Б. Н., Кондратьев В. В. О влиянии добавок на критический диаметр детонации нитроэфиров // Физика горения и взрыва. 1983. Т. 19, № 4. С. 139.
- Козак Г. Д., Кондриков Б. Н., Обломский В. Б. Спиновая детонация в твердых веществах // Физика горения и взрыва. 1989. Т. 25, № 4. С. 86.
- Гамезо В. Н. Кинетика тепловыделения в реакционной зоне детонационной волны: Дис. ... канд. физ.-мат. наук. М.: МХТИ им. Д. И. Менделеева, 1992.
- Гамезо В. Н., Кондриков Б. Н., Козак Г. Д. К зависимости критического диаметра детонации нитроэфиров от начальной температуры // Хим. физика. 1993. Т. 12, № 5. С. 719–722.
- Козак Г. Д., Кондриков Б. Н., Елисеенков М. Ю., Жук Ю. С. О влиянии вязкости на устойчивость детонации диэтиленгликольдинитрата // Физика горения и взрыва. 1966. Т. 32, № 1. С. 111–114.

21. Детонационные волны в конденсированных средах / А. Н. Дремин, С. Д. Савров, В. С. Трофимов, К. К. Шведов. М.: Наука, 1970.
22. Гамезо В. Н., Козак Г. В., Кондриков Б. Н., Хорошев С. М. Детонация смесей ароматических нитросоединений с олеумом // Взрывчатые материалы и пиротехника. 1992. Вып. 3(218). С. 3–9.

Поступила в редакцию 14/VII 1997 г.
